

III-308 海底ケーブル埋設機の設計について

京都大学工学部 正会員 畠 昭治郎

1. 埋設機の目的と設計条件 日中通信ケーブル建設にあたり、その大部分（長崎～上海間 850 km 中 770 km）は東支那海の浅い大陸棚上になるが、同海域は有数の漁場であり敷設ケーブルがトロールダメージをうけることは必ずしも海底に埋設しなければならない。従来この種のものとしては、鋸状の刃を油圧で操作して海底に溝を掘り水中 TV カメラで制御しながら埋設してゆく高性能のものが ATT や NTT で開発使用されているが、これらは重く（15～20 t）、牽引抵抗も 30 t 近くあり KDD 丸の能力をこえるため、新しく小形軽量で取扱いやすくかつ抵抗の小さい埋設機を開発する必要が生じたもので、設計条件は埋設深さ 0.7 m、埋設速度 3 ノット、重さ 10 t 以下で抵抗も 20 t 程度というものである。なお海底土質としては細砂が多いがじく表層は泥状である。

2. 砂質土の掘削抵抗の特性とその低減方法

單一刃の幅を B 、すくい角を α 、横すくい角を β 、掘削深さを t とすれば水平方向掘削抵抗 H は次式で求められるることは 20 数年前に報告したとおりである¹⁾。 e_s は土の掘削強度指数であり、 α はラジアンで表わす。

$$H = 1.82 e_s B t^2 \cdot 10^{-0.45\alpha} \quad \cdots \cdots \cdots (1)$$

掘削方向への投影刃幅 B が一定のときは横すくい角 β の変化によって H に有意差はみられず、また掘削速度 v の影響もほとんどない。しかし水中ではこれと異なり v の影響が大きく次式のようになつた。²⁾ α : 透水係数。

$$H = 1.82 e_s B t^2 \cdot 10^{-0.45\alpha} \cdot (1 + \alpha v/v_0) \quad \cdots \cdots \cdots (2)$$

(1) 式で H が v に比例することから、土を 1 度に掘削するに何枚かに分けて掘り、いかにも多段刃の考え方でくる。前の刃が掘ったあと、そのみぞがあまりくずれていうちに次の刃が掘るというようにすれば、 e_s が深さに無関係に一定のとき $H = 1.82 e_s (t/n)^2 10^{-0.45\alpha} \sum_{i=1}^n B_i$ $\cdots \cdots \cdots (3)$

となる。ここで n は刃の枚数、 B_i は i 番目の刃幅である。実験の結果 6 枚刃で約 1/1.5 程度に減る。またこの多段刃を用いて水中掘削を行つたところ、(2) 式のようにはならず、3 ノット（約 1 m/sec）程度では抵抗の増大は極低速の場合の約 3 制増程度でありそれほど重大視する必要がないとの結果を得た。これはせん断破壊領域への水の補給能力において、多段刃の方が単段に勝つため、速度の大きさとともに生ずる負担の程度が小さいことによるものであろう。

つぎにすくい角 α は大きい方が抵抗が減少するが適度な逃げ角と強度的に十分な刃物角をもたせるためには限度があり、せいぜい 60° までと思われる。また横すくい角 β としては、掘削した土砂を運搬する側方に排除するとともに、刃の実質幅をあまり大きくしないために 45° くらいが適当であり、刃と刃の間隔は目安で 50 mm とする。刃もあまり大きくなりといふことで、一応 図-1 のようなものが考案される。

3. 掘削テストと相似性

以上の推論の実証とプロトタイプの性能を求めるため 図-3 中に示した 9 種類の多段刃 ($\beta = 45^\circ$ 定; $\alpha = 30^\circ, 45^\circ, 60^\circ$ で $n = 3, 4, 5$) と、寸法の異なる 3 種 ($\alpha = 55^\circ, \beta = 45^\circ, n = 5$; 初

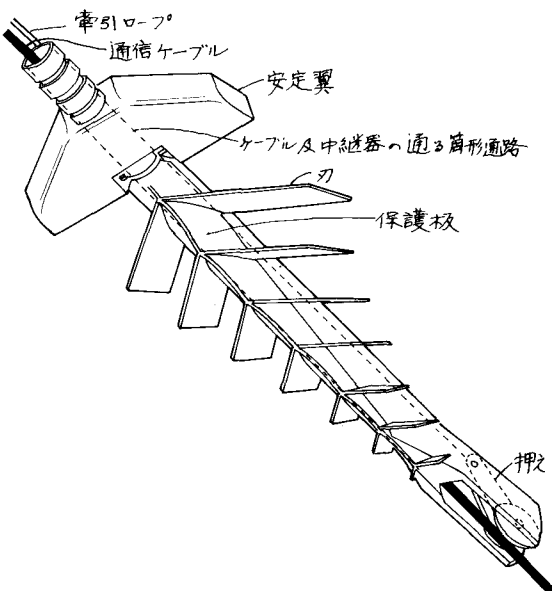


図-1 多段刃式海底ケーブル埋設機（下側からみた）

歯刃幅 $B_1 = 15, 30, 45 \text{ cm}$ の模型で歯削
テストを行った結果を図-3に示す。縦軸 t/B_1 ,
横軸 $P/c_3 B_1$ (力接頭左) で整理すると図の
ようにそれぞれ一つの曲線上にあるようになる。
すなはち $t/B_1 = f(P/c_3 B_1)$ (4)

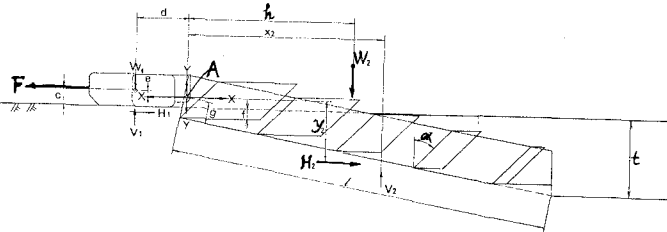


図-2 一定深さで 握削中の多段刃にかかる力

- i) 極削深さは一定故 $\tau_2 = 0$ 図-2

ii) 極削抵抗 H_2 の着力点は A 底下方 $t/2$ とする。因で $y_2 = t/2$

iii) H_2 は (3) 式の形となるが、連土抵抗を含む $\frac{t}{B_1}$
0.5
みて (3) 式中の α を 2 倍と考之ろ

iv) 多段刃部分の重量 τ_2 の作用点と A 点 0.4

以上の仮定を用いて、安定翼と多段刃との結合ピン A のまわりのモーメントのつもりから

$$-(2t)^2 \cdot 0.4555^2 P = \frac{2}{3} \pi t^3 b$$

$$1.82 C_s \left(\frac{2t}{n}\right)^2 10^{-0.450d} \sum_{i=1}^n B_i = \frac{2}{t} W_2 h$$

すなはち P は $W_2/B_1^2 = \frac{1}{B_1}$ の例で、 $B_1 = \sqrt{\sum B_i^2}$ であるから、

$$t/B_1 = K \left(\frac{P}{e_s B_1} \right)^{\frac{f}{3}} \quad \dots \dots \quad (5)$$

ここで、 K は α, n が一定ならば”ある

常数となる。これで(4)式の函数形は(5)式であることがわかったわけで、これら $B_1 = 120\text{ cm}$ (7号タイヤ) のものの抵抗深さを推定することができる。図-3中の破線は $\alpha = 55^\circ$, $n = 5$ のものにつれての計算結果である。つぎに、安定翼の抵抗などを含めた全抵抗を下とすると

$$F = \mu(W_1 + W_2) + 1.82 e_s (2t/n)^2 \cdot 10^{-0.45\alpha} \sum B_i \quad \dots \dots \dots (6)$$

であらわすことができる。ここで μ は海底砂との間の摩擦係数で実測によれば約 $2/3$ であった。

(5), (6) 式の結果と実測の結果を表-1に示すが、プロトタイプでは設計条件を満足しているという結果がでている。表をみると深さは

よく合っているが、抵抗がやや小さく算出される。これは安定翼の排土抵抗を計算に入れておいためであろうと思われる。

4. 埋設実施結果

この研究をもとにしてさらにつかの改良が加えられ KDDにおいて 51年5月実施用機械が完成し、それを用いて同年6月から7月にかけて海底ケーブル埋設が行われたが、順調に工事は進み、同年10月25日 同ケーブルによる最初の通信が行わされた。その施工結果の概要を KDD の好意により当日発表する予定である。

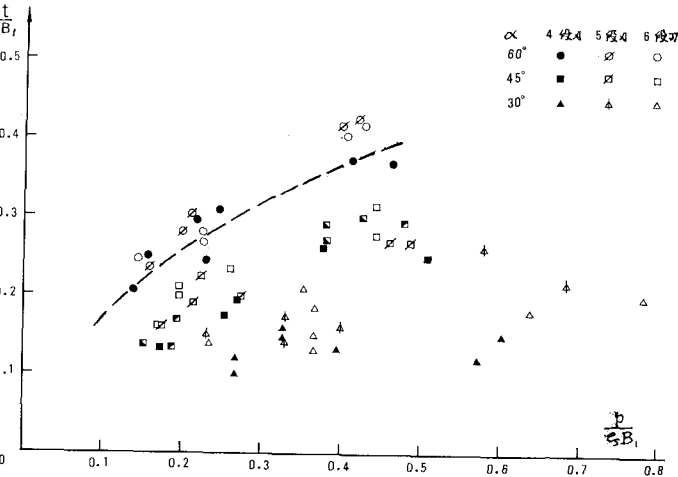


図-3 模形テスト結果 ($B_1 = 15\text{ cm}, 30\text{ cm}$ および 45 cm)

B_1	15 cm	30 cm	45 cm	70°トタイド		
	計算	実測	計算	実測	計算	計算
$t(cm)$	8.0	7.8	16.0	16.0	24.0	22.5
$F(kg)$	1.4	2.3	11.0	11.2	33.8	42.3

1) 村山・畠「土の切削抵抗について」土木学会誌 40巻3号(昭30年3月) pp. 10~16.

2) 畠・伊勢村「水中掘削」模擬工事」土木学会関西支部年次学術講演会（昭44年5月）P.40